

# تأثیر نانولوله‌های کربنی بر مورفولوژی سلولی فوم‌های نانوکامپوزیتی میکروسولولار PC/EPDM

مجتبی احمدی<sup>۱\*</sup>، شاهین ابراهیمی<sup>۲</sup> و محمد احمدی<sup>۳</sup>

۱- دانشگاه آزاد اسلامی، شاخه علوم و تحقیقات، گروه مهندسی پلیمر، تهران، ایران

۲- دانشگاه صنعتی امیرکبیر، دانشکده مهندسی پلیمر و تکنولوژی رنگ، تهران، ایران

۳- دانشگاه علوم پزشکی یاسوج، دانشکده پزشکی، یاسوج، ایران

(دریافت مقاله: ۱۳۹۱/۰۸/۱۴ - دریافت نسخه نهایی: ۱۳۹۲/۰۴/۲۹)

**چکیده** – تولید فوم با ساختار میکروسولولی (اندازه سلولی  $\mu\text{m}$  ۱-۱۰۰ و چگالی سلولی بالاتر از  $10^9 \text{ cell/cm}^3$ ) از آمیزه پلیکربنات/اتیلن پروروپیلن دی‌ان منوم (PC/EPDM) هدف پژوهش حاضر بوده است. تهیه فوم میکروسولولی از این آمیزه بهدلیل هسته‌گذاری ضعیف ناشی از چقرمگی بالا به راحتی امکان پذیر نیست. با این وجود تلاش‌ها برای بهبود فرایند فوم‌شدن در این روش همچنان ادامه دارد. اخیراً، استفاده از پرکننده‌های نانو در صنایع مختلف پلیمر برای رسیدن به بعضی از خواص مطلوب رایج شده است. در این پژوهش امکان استفاده از نانولوله‌کربنی در فوم‌های پلیمری به منظور افزایش نرخ هسته‌گذاری سلولی مطرح شده است. عملیات فوم‌شدن به روش ناپیوسته و توسط عامل فومزای دی‌اکسیدکربن فوقبحراتی انجام شد. نتایج نشان داد که نانولوله‌کربنی در زمینه پلیمری به صورت هسته‌زا عمل می‌کند و نرخ هسته‌گذاری سلولی را افزایش می‌دهد. همچنین استفاده از نانولوله‌کربنی تا ۳ درصد وزنی باعث افزایش چگالی سلولی می‌شود و میانگین اندازه سلول‌ها را کاهش می‌دهد.

**واژگان کلیدی:** ترمoplastیک‌الاستومر، ساختار میکروسولولی، نانولوله‌کربن، مورفولوژی سلولی، فوم نانوکامپوزیتی

## Effect of Carbon Nanotube Content on Cell Morphology of Nanocomposite Microcellular PC/EPDM Foams

M. Ahmadi<sup>1\*</sup>, Sh. Ebrahimi<sup>2</sup> and M. Ahmadi<sup>3</sup>

1- Department of Polymer Engineering, Science and Research Branch, Islamic Azad University, Tehran, Iran

2- Polymer Engineering Department, Amirkabir University of Technology, Tehran, Iran

3- Department of Medicine, Yasouj University of Medical Sciences, Yasouj, Iran

**Abstract:** This research aimed at producing microcellular foams (with cell size of 1-10  $\mu\text{m}$  and cell density above  $10^9 \text{ cell/cm}^3$ )

\* مسئول مکاتبات، پست الکترونیکی: mjtib\_ahmadi@yahoo.com

*from PC/EPDM in order to use in medical devices. Due to the weak nucleation behavior of microcellular polycarbonate foams, it is difficult to prepare them. This research provides valuable information regarding the possibility of making microcellular foams from this polymer by using multiwalled carbon nanotubes (MWNTs) as nucleating agents (the value of 1-3 phr). The nanocomposite samples were prepared in an internal mixer and foamed via a batch processing method using supercritical carbon dioxide as the foaming agent. The results showed that the addition of nanoparticles up to 3 phr improves the foamability of PC/EPDM blend. Furthermore, as nanoparticle content increased a decrease in cell size and hence an increase in cell density were observed. Another finding showed that cell size distribution is directly related to uniform dispersion of carbon nanotubes.*

**Keywords:** Thermoplastic elastomer, Microcellular structure, Carbon nanotube, Cell morphology, Nanocomposite foams

حباب‌ها از این نوافص بیشتر نشود. حضور تعداد بسیار زیاد حباب (سلول) در یک حجم کوچک این قابلیت را به این ساختارها می‌بخشد که در صنایع مختلف از جمله در مهندسی پزشکی و کاربردهای بالینی کاربرد فراوانی داشته باشند. به عنوان مثال، در یک پژوهش بهدلیل وجود زخم‌های متعدد در پای بیماران مبتلا به دیابت و نوروپاتی، از پروتزهای میکروسولولی در پوشش پای آنها به صورت کفی و به روش پیگیری<sup>۱</sup> استفاده شد [۴]. بنابرنتایج این تحقیق، استفاده از این پروتزها بهدلیل کاهش فشار پلاتنتار<sup>۲</sup> پای بیماران باعث افزایش سرعت بهبود زخم‌ها و جلوگیری از پیدایش مجدد زخم‌ها شده است. ژانگ و همکارانش در یک پژوهش جدید دریافتند که به کار بردن فوم نانوکامپوزیتی میکروسولولی پلی‌متیل‌متاکریلات/گرافن می‌تواند از تداخل امواج الکترومنغناطیسی<sup>۳</sup> را تا حد زیادی جلوگیری کند [۵]. کاهش تداخل این امواج در اتاق‌های جراحی و در استفاده از ابزار الکترونیکی جراحی می‌تواند باعث جلوگیری از خطرات زیادی مانند آریتمی قلبی و فیبریالاسیون بطنی<sup>۴</sup> شود. در این پژوهش از زمینه و فاز پلاستیک پلی‌کربنات برای ساخت فوم میکروسولولی استفاده شده است. پلی‌کربنات از خانواده پلیمرهای ترمoplastیک است و به صورت گستردۀ در قالب‌سازی و تغییرات گرمایی کاربرد دارد. این نوع پلاستیک‌ها هم‌چنین به وفور در صنایع شیمیایی نوین کاربرد دارند. در سال‌های اخیر تلاش‌هایی مبنی بر فرم‌کردن پلی‌کربنات به صورت میکروسولولار انجام گرفته است تا علاوه بر بهره‌گیری از خواص مطلوب این پلیمر، از وزن آن در قطعات نیز کاسته شود [۱۰-۶]. نخستین بار کومر و همکارانش [۱۱] توانستند از پلی‌کربنات طی یک فرایند قالب‌گیری گرم در دمای ۱۵۰°C فوم

## ۱- مقدمه

با توجه به کاربرد روزافزون پلیمرها در صنایع مختلف، برای صنعت بسیار با اهمیت است که روشی برای کاهش مقدار ماده مصرفی در فرایند تولید قطعه به کار گرفته شود. لذا استفاده از فوم‌های پلیمری در بخش‌های مختلف زندگی مردم گسترش فراوانی پیدا کرده است [۱]. فوم‌های پلیمری کاربردهای فراوانی در زمینه‌های مختلف صنعت دارند، زیرا در عین حال که سبک‌اند، دارای شکل‌پذیری و مقاومت در برابر تنفس‌های مکانیکی و خوردگی و هم‌چنین خصوصیات عایق‌بودن در برابر الکتریسیته، گرما و صوت اند. حتی در مواردی که فوم ساختار بسیار مخلخل و سلول باز دارد، در مهندسی بافت به عنوان داریست<sup>۱</sup> برای پیوند و رشد سلولی استفاده می‌شوند [۲]. معمولاً پلاستیک‌های فوم‌شده به روش‌های متداول، خواص مکانیکی بسیار ضعیف‌تری نسبت به پلاستیک‌های فوم‌نشده دارند. بنابراین برای کاربردهایی که به استحکام کششی بالا یا سفتی مناسب نیاز است، فوم‌های معمولی گزینه مناسبی نیستند. در این موقع فوم‌های میکروسولولی می‌توانند جایگزین مناسبی برای پلاستیک‌های فوم‌نشده و فوم‌های معمولی باشند. فوم میکروسولولی به گونه‌هایی از مواد ترمoplاستیک اطلاق می‌شود که چگالی آن‌ها سلولی بالاتر از  $10^9$  cell/cm<sup>3</sup> و اندازه سلول‌های آن در حدود ۱۰ میکرومتر باشد.

ایده پلاستیک‌های میکروسولولی توسط مارتینی ابداع شد تا ضمن کاهش هزینه برای تولیدات پلیمری، نقص مهمی در خواص مکانیکی محصول ایجاد نشود [۳]. منشاء این ایده بر این اساس استوار بود که مشابه نوافص ذاتی موجود در پلیمر، تعداد زیادی حباب در قطعه پلیمری ایجاد شود، به گونه‌ای که اندازه این

پلی استایرن اندازه سلول های فوم کاهش و چگالی سلولی فوم افزایش می یابد.

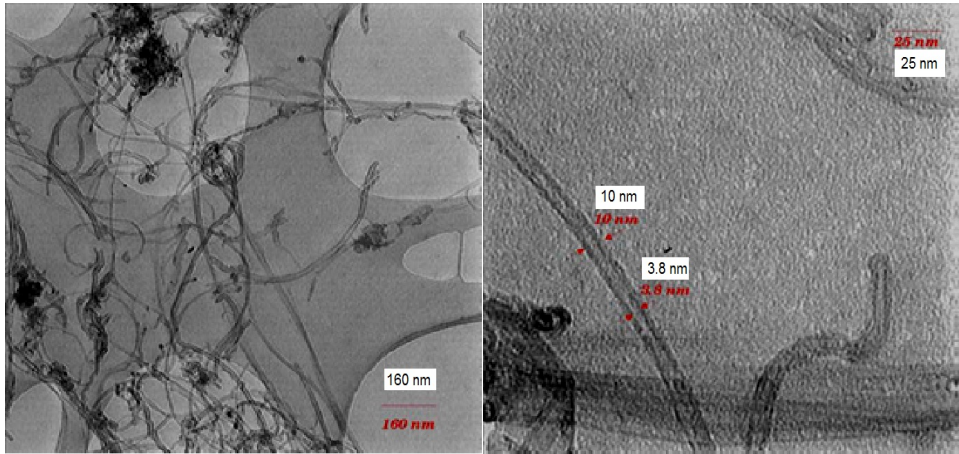
اما با وجود اینکه پلی کربنات به عنوان یک ماده چقرمه به شمار می آید، نیاز مبرمی برای افزایش بیشتر چقلمگی آن وجود دارد [۹ و ۱۹]. این مسئله بدین خاطر است که پلی کربنات یک ماده حساس به ترک است و در دماهای پایین رفتار شکننده دارد و مقاومت آن در مقابل رشد ترک در این شرایط بسیار ضعیف است. آمیختن فاز لاستیکی در داخل پلی کربنات از طریق آمیزه سازی، یک راه مؤثر برای تهیه پلی کربنات بسیار چقرمه است [۲۰]. الاستومرهای مورد استفاده اولیه بیشتر پلی ایزوبوتیلن و لاستیک بیوتیل بودند که بعد از اینکه لاستیک EPDM تولید شد، جای خود را به آن دادند.

لاستیک اتیلن - پروپیلن - دی انمونومر را عموماً EPDM می نامند [۲۱]. این نام گذاری که از طرف انجمن آمریکایی آزمون مواد<sup>۸</sup> استینتو بین المللی تولید کنندگان لاستیک مصنوعی<sup>۹</sup> و سازمان استانداردهای بین المللی<sup>۱۰</sup> به عنوان یک قرارداد پذیرفته شده است، به محصول پرمصرف تر و قابل واکنش با گوگرد که در مولکول های آن علاوه بر اتیلن و پروپیلن درصد کمی از یک مونومر دی ان، وجود داشته باشد، اطلاق می شود. منظور از آمیزه های PC/EPDM که بدین صورت نوشته می شود، ماده ای است که PC در آن فاز اصلی است و EPDM در فاز اصلی پخش شده است. خواص فیزیکی مکانیکی اکثر ترمопلاستیک الاستومرها براساس میزان ترموپلاستیک و یا الاستومر به کار رفته در آنها متغیر است.

در پژوهش حاضر، در قدم اول فوم میکروسسلولی بر پایه ترموپلاستیک الاستومر پلی کربنات / اتیلن پروپیلن دی ان منومر با استفاده از ۳ درصد نانولوله کربنی به عنوان عامل هسته زا و سیال فوق بحرانی دی اکسید کربن به عنوان عامل فوم زا ساخته شده است و در قدم دوم، تأثیر دور اختلاط و میزان نانوهسته زا بر میزان فوم پذیری و مورفولوژی این فومها به وسیله میکروسکوپ الکترونی روشنی SEM مورد بررسی قرار گرفته است.

میکروسسلولی با چگالی سلولی حدود  $1 \sim 10 \times 10^9 \text{ cell/cm}^3$  تولید کنند. پس از آن توماسکو و همکارانش [۱۲] دی اکسید کربن فوق بحرانی را برای کاربردهایی از جمله ساخت فوم های پلی کربنات به عنوان حلال و عامل فوم زا معرفی کردند. در ادامه از این گاز خشی در مواردی برای ساخت فوم های میکروسسلولی پلی کربنات استفاده شد [۱۳ و ۱۴]. دی اکسید کربن فوق بحرانی تمام خواص سیالات فوق بحرانی را دارد و در عین حال از قیمت نسبی پایین تری برخوردار است. از بزرگ ترین ویژگی هایی که یک سیال فوق بحرانی از خود نشان می دهد، تنظیم حلایت با فشار است که در فرایندهای استخراج و تولید فوم های میکروسسلولی بسیار کاربرد دارد. گازهایی چون دی اکسید کربن و نیتروژن فوق بحرانی خواص جالب دیگری را نیز ارائه می کنند. برای مثال گرانروی آنها مشابه گازها و چگالی آن مشابه مایعات است و ضریب نفوذی<sup>۷</sup> مابین گاز و مایع دارند. علاوه بر این، همانند گازها قابلیت نفوذ در جامدات متخلخل را دارند به اضافه این که هم چون مایعات می توانند مواد را در خود حل و اجزای سازنده آنها را جدا کند [۱۵ و ۱۶]. کیلون و همکارانش [۱۷] نیز به این نکته اشاره کردند که مورفولوژی فوم های میکروسسلولی به شدت متأثر از میزان حلایت دی اکسید کربن فوق بحرانی در پلیمر است.

جیمز لی و همکارانش [۱۸] دریافتند که در مقایسه با فوم هایی که در آنها از افزودنی های میکرو استفاده شده است؛ فوم های حاوی نانوذرات رس سلول هایی کوچک تر و با ساختار یکنواخت تری را ارائه می دهند. همچنین دانگو وی و همکارانش [۱۵] با استفاده از مخلوط کن داخلی (برایندر<sup>۸</sup>) ترکیبی از پلی استایرن / سیلیکات لایه ای ساختند و با استفاده از دی اکسید کربن فوق بحرانی از این ترکیب ساختاری میکروسسلولی به دست آوردن. آنان دریافتند که سیلیکات های لایه ای در زمینه پلیمری به عنوان مراکز هسته زایی ناهمگن عمل می کنند. همچنین با افزودن ذرات رس به زمینه



شکل ۱- تصویر TEM از نanolوله کربن چندجداره استفاده شده

جدول ۱- مشخصات نanolوله های استفاده شده در این پژوهش

نمونه	چگالی (gr/cm <sup>3</sup> )	خلوص (%)	قطر خارجی (nm)	سطح ویژه (m <sup>2</sup> /gr)	طول (μm)
نانولوله کربن چند جداره (MWNTs)	۲/۰	>۹۵	۱۰-۲۰	>۱۶۵	۳۰-۱۰۰

یک ناپایداری ترمودینامیکی در فرایند است [۲۲]. مقدار زیادی گاز، که معمولاً از نیتروژن یا دی اکسیدکربن فوق بحرانی است، در پلیمر در فشار بالا و تحت دمای خاصی حل می‌شود و زمانی که پلیمر اشباع شد با کاهش فشار یا افزایش دما این ناپایداری ترمودینامیکی به سیستم تحملی می‌شود تا جدایی فازی اتفاق بیافتد و نیروی محرکه رشد سلول‌ها فراهم شود. با توجه به توان این نیروی محرکه، هسته‌گذاری سلولی انجام می‌شود. تعداد هسته‌ها به صورت نمایی با مقدار گاز حل شده در پلیمر افزایش می‌یابد.

## ۲-۱-۲- اخلاقاط مواد

به منظور اختلاط مواد از مخلوطکن داخلی برابندر ساخت کشور آلمان تحت شرایط عملیاتی ۱۰ دقیقه و در دمای ۱۹۰ درجه سانتی‌گراد با دور ۶۰ و ۶۰ دور بر دقیقه استفاده شده است [۱۹ و ۲۳]. روش اختلاط به این ترتیب بود که ابتدا PC و EPDM وارد مخلوطکن داخلی شد و بعد از ۲ دقیقه نanolوله‌ها به مذاب اضافه شد و اختلاط تا ۱۰ دقیقه ادامه پیدا کرد. این

## ۲- بخش تجربی

### ۱-۲- مواد

در این پژوهش از لاستیک اتیلن پروپیلن دی ان مونومر گونه KEP270 از شرکت کامهو<sup>۱۱</sup> کره جنوبی استفاده شد. چگالی این پلیمر  $0.86 \text{ gr/cm}^3$  با مقدار اتیلن ۵۷ درصد بود. پلی کربنات مورد استفاده نیز از گونه واندرلیت<sup>۱۲</sup> شرکت چیمی<sup>۱۳</sup> تایوان با دمای انتقال شیشه‌ای ۱۴۵ درجه سانتی‌گراد انتخاب شد. نanolوله کربن استفاده شده نیز از نوع چند دیواره است که از پژوهشکده صنعت نفت تهیه شد. بسیاری از نanolوله‌ها جهت گیری نامنظمی دارند (شکل ۱). طول دسته‌ها اغلب به ۱۰۰ میکرون می‌رسد. مشخصات آنها در جدول (۱) آمده است. از دی اکسیدکربن فوق بحرانی به عنوان عامل فومزا استفاده شد؛ این گاز به ترتیب در دما و فشار بالاتراز ۳۱ درجه سانتی‌گراد و ۷۴ بار در گستره فوق بحرانی خود قرار می‌گیرد.

## ۲- روش کار

mekanizm اصلی برای تولید تمام قطعات میکروسولولار ایجاد

جدول ۲- مشخصات نمونه‌های فوم نشده

کد نمونه	پلی کربنات (%)	لاستیک EPDM (%)	دور همزن (دور بر دقیقه)	نانولوله کربن (%)
۰	۵۰	۵۰	۹۰	۰
۱	۵۰	۵۰	۹۰	۱
۳	۵۰	۵۰	۹۰	۳
۴	۵۰	۵۰	۶۰	۴

نمونه‌های فوم نشده قبل از پوشش دهی با طلا به مدت ۲۴ ساعت در حلال نرمال هپتان قرار گرفتند تا EPDM آنها استخراج شود.

عملیات اختلاط برای درصدهای مختلف به صورت جداگانه طبق فرمول‌بندی جدول (۲) انجام شدند. نمونه‌های به دست آمده سپس پرس و به صورت دمبل درآمدند.

### ۳-۲- محاسبه اندازه و چگالی سلولی فوم‌ها

به کمک نرم‌افزار تحلیل تصویر،<sup>۱۵</sup> اندازه و توزیع اندازه سلول‌ها، در عکس‌های SEM تهیه شده محاسبه شد. چگالی سلولی (N) برابر با تعداد سلول (n) در واحد حجم (cm<sup>3</sup>) است، که از روی تصاویر SEM و با استفاده از رابطه (۱) محاسبه می‌شود:

$$N = (n / A)^{3/2} \quad (1)$$

در این رابطه n تعداد سلول در تصویر دو بعدی (SEM) و A مساحت تصویر میکروسکوپی برحسب μm<sup>2</sup> می‌باشد. نتایج حاصل از اندازه‌گیری اندازه سلول‌ها و چگالی سلولی نمونه‌ها در دو حالت فوم نشده و فوم شده به ترتیب در جدول (۳) و (۴) قابل مشاهده است.

### ۴- آزمون چگالی

مهم‌ترین دلیل استفاده از فوم‌ها وزن و چگالی کم‌تر آن‌ها نسبت به پلیمرهای فوم نشده است. چگالی فوم به عوامل زیادی بستگی دارد که از جمله آن‌ها می‌توان به نوع زمینه پلیمری، نوع و درصد پرکننده نانو، چگالی و اندازه سلول‌ها اشاره کرد. در تعداد سلول‌های ثابت، هر قدر اندازه سلول‌ها بزرگ‌تر باشد، چگالی فوم کم‌تر است و بر عکس در فوم با اندازه سلول‌های ثابت، هر قدر تعداد سلول‌ها بیش‌تر باشد، چگالی فوم نهایی کم‌تر خواهد

### ۲-۲- فرایند فوم شدن

تولید ناپوسته فوم میکروسولولار توسط روش حرارت‌دهی سریع در رآکتور فشار بالا انجام پذیرفت. نحوه فرایند به این صورت بود که ورق‌ها و دمبل‌های آماده در مرحله قبل درون مخزن قرار گرفتند و به آرامی گاز وارد مخزن شد تا به فشار دلخواه در دمای مورد نظر برسد (دما و فشار فرایند در این پژوهش به ترتیب ۱۵۰ درجه سانتی‌گراد و ۱۰۰ بار انتخاب شدند). پس از رسیدن به دما و فشار مورد نظر نمونه‌ها با توجه به ضخامت پایین (حدود ۱ امیلی‌متر) و برای اطمینان از اشباع کامل به مدت ۱ ساعت (زمان اشباع) درون مخزن ماندند تا کاملاً از دی اکسید کربن اشباع شوند. پس از اشباع بلا فاصله شیرتخیله باز شد و در کمتر از دو ثانیه فشار مخزن به فشار اتمسفریک رسید (تحمیل ناپایداری ترمودینامیکی). در پایان با استفاده از شیرهای تعییه شده در مخزن، نمونه‌ها در معرض جریان شدید آب و هوا قرار گرفته تا خنک شوند و ساختار فوم تثیت گردد. نمونه‌های فوم شده برای بررسی مورفولوژی تحت آزمون SEM قرار می‌گیرند. میکروسکوپ الکترونی روبشی مورد استفاده در این تحقیق مدل VEGA-II متعلق به پژوهشگاه پلیمر و پتروشیمی ایران و ساخت کمپانی تسکان<sup>۱۶</sup> آمریکا است. نمونه‌ها ابتدا درون نیتروژن مایع تا زیر دمای انتقال شیشه‌ای برده شده، سپس شکسته شدند و پس از پوشش دهی با طلا تحت آزمون قرار گرفتند. سطح شکست

جدول ۳- میانگین اندازه سلولی و چگالی سلولی نمونه‌های فوم نشده

کد نمونه	ناتولوله کرین (%)	دور همزن (Rpm)	میانگین اندازه سلول (μm)	چگالی سلولی (Cell/cm <sup>3</sup> )
a	۰	۹۰	۲/۲۲	۸/۸×۱۰ <sup>۹</sup>
b	۱	۹۰	۲/۰۲	۱/۱×۱۰ <sup>۱۰</sup>
c	۳	۹۰	۱/۸۴	۱/۷۷×۱۰ <sup>۱۰</sup>
d	۳	۶۰	۱/۲۹	۱/۸۹×۱۰ <sup>۱۰</sup>

جدول ۴- میانگین اندازه سلولی و چگالی سلولی نمونه‌های فوم شده

کد نمونه	ناتولوله کرین (%)	دور همزن (Rpm)	میانگین اندازه سلول (μm)	چگالی سلولی (Cell/cm <sup>3</sup> )
a	۰	۹۰	۳/۰۱	۶/۸۴×۱۰ <sup>۹</sup>
b	۱	۹۰	۲/۰۴	۹/۶۵×۱۰ <sup>۹</sup>
c	۳	۹۰	۱/۸۵	۱/۱۳×۱۰ <sup>۱۰</sup>
d	۳	۶۰	۱/۳۵	۱/۴۴×۱۰ <sup>۱۰</sup>

جدول ۵- مقایسه میزان کاهش چگالی نمونه‌های فوم شده نسبت به نمونه‌های فوم نشده

کد نمونه	ناتولوله کرین (%)	چگالی نمونه فوم شده (g/cm <sup>3</sup> )	چگالی نمونه فوم نشده (g/cm <sup>3</sup> )	درصد کاهش چگالی (%)
a	۰	۰/۶۳	۰/۸۶	۲۶/۷
b	۱	۰/۶۹	۰/۸۸	۲۰/۶
c	۳	۰/۷۲۳	۰/۹	۱۵/۲
d	۳	۰/۷۸۳	۰/۹	۱۳

آن جایی که فوم شدن در حالت تقریباً جامد اتفاق میافتد، دمای فوم شدن بسیار مهم است، زیرا با انتخاب دمای نامناسب ممکن است اصلاً فرمی تشکیل نشود [۲۴]. پس باید همواره این دما را بالاتر از دمای انتقال شیشه‌ای انتخاب کرد تا با نرم‌تر شدن پلیمر، هسته‌گذاری و رشد اتفاق بیافتد. از طرفی، اگر دما خیلی زیاد باشد پلیمر بسیار نرم می‌شود و سلول‌های زیادی شکل نمی‌گیرند. به همین دلیل معمولاً حد بالا و پایینی برای دمای فوم شدن وجود دارد. با توجه به دمای انتقال شیشه‌ای پلی‌کربنات (۱۴۵ درجه سانتی‌گراد) انتظار می‌رود که کمینه

بود. اندازه‌گیری چگالی نمونه‌ها قبل و بعد از فوم شدن به کمک دستگاه چگالی سنج پرکیسا<sup>۱۶</sup> مدل XB220A براساس نیروی شناوری و براساس استاندارد ISO-11831 صورت گرفت. جدول (۵) چگالی نمونه‌های فوم شده و فوم نشده و درصد کاهش وزن آن‌ها را نشان می‌دهد.

### ۳- نتایج و بحث

#### ۳-۱- انتخاب دما، فشار و زمان اشباع

در فرایند تولید فوم میکروسالولی به روش ناپیوسته از

نمونه‌ها به کمک آزمون SEM مورد بررسی قرار گرفت. شکل (۲) ریزنگار این نمونه‌ها را نشان می‌دهد. همان‌طور که در تصاویر دیده می‌شود، مورفولوژی غالب در همه آن‌ها قطره زمینه<sup>۱۷</sup> است که در آن ذرات EPDM در فاز پیوسته PC پخش شده است. با توجه به شکل (۲)، در نمونه بدون نانو (الف)، فاز پراکنده (ذرات EPDM) شکل مشخصی ندارد و می‌توان ترکیبی از قطرات کشیده شده و ذرات کروی را در آن دید. اما در نمونه‌های حاوی نانولوله فاز پراکنده بیشتر متمایل به تشکیل قطرات کروی است. همچنین تحلیل تصاویر نشان می‌دهد که میانگین اندازه قطر ذرات پراکنده در آمیزه بدون نانو (الف) در حدود ۲/۲ میکرومتر است که این اندازه در نمونه‌های نانوکامپوزیتی اندکی کوچک‌تر است. نمونه (د) که حاوی ۳ درصد نانولوله است و با دور همزمان ۶۰ دور بر دقیقه به دست آمده است کوچک‌ترین میانگین اندازه قطر را در میان تمام نمونه‌ها دارد که این اندازه در آن به حدود ۱ میکرومتر می‌رسد (جدول ۳).

حال در شکل (۳) مشاهده می‌شود که در نمونه‌های فرم شده اندازه سلول‌ها بین ۱/۲ تا ۳ میکرومتر است که بیانگر این مطلب است که با افزایش نانولوله کربن میانگین اندازه سلولی کاهش و چگالی سلولی افزایش پیدا کرده است. همچنین توزیع باریک اندازه سلول‌ها در شکل‌های به دست آمده به دلیل پخش شدن مناسب نانولوله کربنی (عامل هسته‌زا) درون زمینه پلیمری است. با توجه به دمای انتقال شیشه‌ای پلی‌کربنات (۱۴۵ درجه سانتی‌گراد) و دمای انتقال شیشه‌ای لاستیک اتیلن‌پروپیلن دی‌ان منومر (۵۱-درجه سانتی‌گراد)<sup>[۲۶]</sup> و از آنجا که در این نمونه‌ها در دمای ۱۵۰ درجه سانتی‌گراد ساختار میکروسسلولی با سلول‌های کروی کاملاً قابل مشاهده است، می‌توان این‌گونه تفسیر کرد که پدیده فوم شدن در فاز پلی‌کربنات اتفاق افتاده است، زیرا در این دما تا حدودی ساختار بلوری پلی‌کربنات به هم می‌ریزد و پلیمر نرم شده، مستعد هسته‌گذاری و رشد حباب می‌شود. ذهنی می و همکارانش<sup>[۲۷]</sup> نیز نشان دادند که فوم کردن پلی‌پروپیلن به این روش و با گاز دی‌اکسیدکربن فقط در

دمای مورد نیاز برای تشکیل فوم ۱۴۵ درجه سانتی‌گراد باشد اما با توجه به این نکته که در حضور سیال فوق‌بحرانی به‌دلیل اشباع پلیمر توسط این حلال دمای انتقال شیشه‌ای آن کاهش می‌یابد می‌توان انتظار داشت که در دماهای پایین‌تر از ۱۴۵ درجه سانتی‌گراد هم ساختار میکروسسلولی تشکیل شود.

فشار نیز مانند دما از مهم‌ترین موارد مؤثر در اشباع‌سازی زمینه پلیمری و رسیدن به ساختار میکروسسلولی است [۲۴]. از آنجا که دی‌اکسیدکربن در فشار ۷۱ بار به حالت فوق‌بحرانی خود می‌رسد، این فشار کمینه فشار برای ساخت فوم‌های میکروسسلولی محسوب می‌شود. در این پژوهش به‌دلیل اثر فوق‌العاده سیالات فوق‌بحرانی در اشباع زمینه پلی‌کربنات و کاهش اندازه فوم نهایی از فشار ۱۰۰ بار استفاده شد.

زمان اشباع شدن گاز، متغیر فرایندی نامناسبی برای کنترل اندازه سلول است [۲۵]، زیرا برای رسیدن به غلظت مناسب گاز در پلیمر باید زمان لازم را برای اشباع گاز انتخاب نمود. زمان اشباع شدن گاز در پلیمر را می‌توان با استفاده از قانون فیک و با داشتن ضریب نفوذ گاز در پلیمر در هر ضخامتی از نمونه محاسبه نمود. با نوشتن روابط انتقال جرم فیک به‌طور تقریبی می‌توان ضریب نفوذ را با رابطه (۲) تخمین زد.

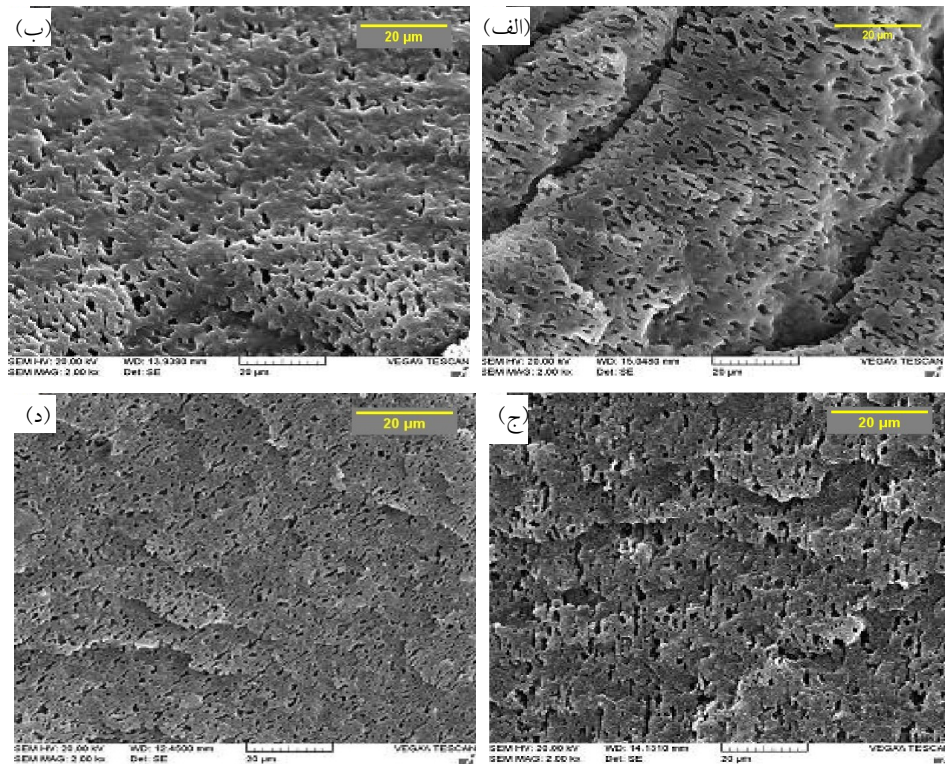
$$(2) \quad t = D / L^2$$

D ضریب نفوذ گاز در پلیمر، L نصف ضخامت نمونه و t زمان اشباع شدن است. نکته اصلی در این رابطه ضریب نفوذ است که برای مواد مختلف و در شرایط دما و فشار مختلف مقادیر آن در مراجع نیست.

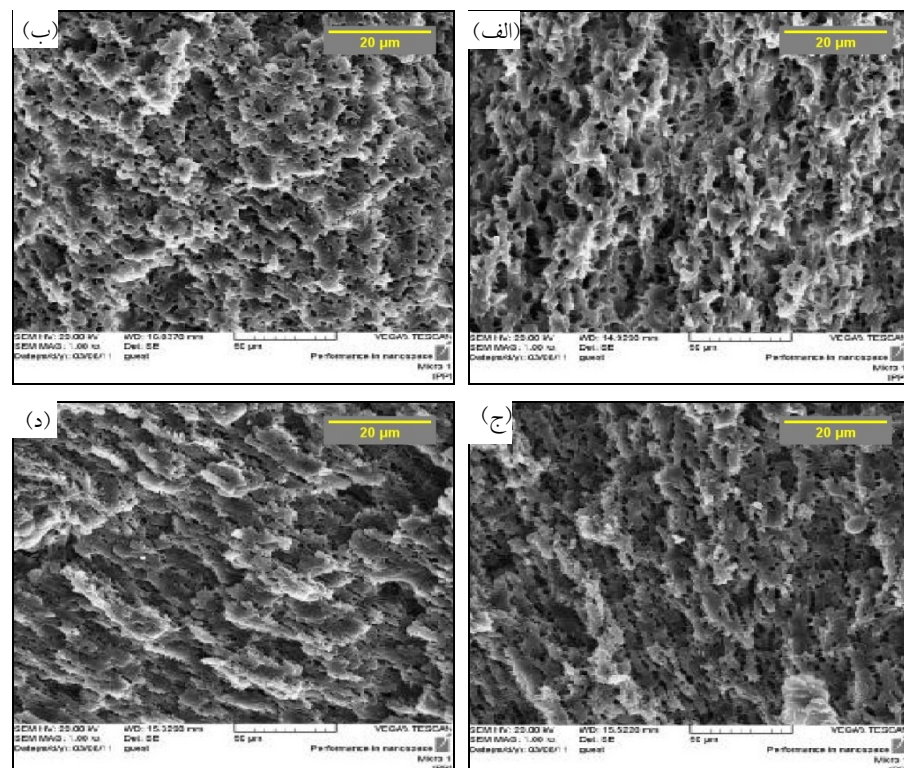
### ۲-۳- بررسی مورفولوژی فوم PC/EPDM

به‌منظور دست‌یابی به یک دیدگاه کلی در مورد فوم نانوکامپوزیتی PC/EPDM در این قسمت ابتدا لازم است مورفولوژی آمیزه‌های فوم‌نشده و نانولوله کربن مورد بررسی قرار گیرند و سپس به بحث در مورد مورفولوژی فوم میکروسسلولار پردازیم.

برای بررسی مورفولوژی نمونه‌های فوم‌نشده سطح شکست



شکل ۲- ریزنگار SEM از سطح شکست نمونه‌های فوم نشده (الف).٪/۱) نانو ب(٪/۳) نانو ج(٪/۹۰ Rpm و د)٪/۳) نانو با دور ۶۰Rpm تهیه شده است



شکل ۳- ریزنگار SEM از سطح شکست نمونه‌های فوم شده (الف).٪/۱) نانو ب(٪/۳) نانو ج(٪/۹۰ Rpm و د)٪/۳) نانو با دور ۶۰Rpm و فشار ۱۰۰ بار در دمای ۱۵۰ درجه سانتی گراد تهیه شده است.

بسیار مؤثری در کاهش اندازه سلولی و افزایش چگالی سلولی است.

در مورد اثر روش ساخت نمونه‌ها بر مورفولوژی سلولی فوم‌های بهدست آمده، نتایج حاکی از آن است که فوم‌های ساخته شده با دور همزن ۶۰ دور بر دقیقه ساختار مطلوب‌تری را نسبت به نمونه‌های ساخته شده با دور ۹۰ دور بر دقیقه نشان می‌دهند؛ که این می‌تواند به دلیل مقداری شکست در نانولوله‌های کربن باشد. چون نانولوله‌های کربن تحت تنشی‌های بالا در حین اختلاط مذاب یا غلتک‌کاری شکسته می‌شوند و نسبت منظری<sup>۱۸</sup> آنها کاهش پیدا می‌کند.

نانولوله‌های کربن که در اختلاط با دور ۹۰ دور بر دقیقه استفاده شده‌اند نسبت به نانوذرات تحت اختلاط با دور ۶۰ دور بر دقیقه، تحت تنش بیشتری قرار می‌گیرند. این تنش مضاعف به سطح و طول نانولوله‌ها آسیب وارد می‌کند و باعث شکست نانولوله‌ها در دور اختلاط‌های بالاتر می‌شود. شکست نانولوله‌ها در دورهای بالا باعث برهم‌خوردن هم‌ترازی نانولوله‌ها و اتصالات بین صفحه‌ای آن‌ها با زمینه پلیمری می‌شود و این امر اثر تقویت‌کنندگی نانولوله‌ها را تا حد زیادی کاهش می‌دهد. دلیل دیگر این است که در دورهای بالا احتمال برخورد نانولوله‌ها با یکدیگر افزایش می‌یابد و در نتیجه، احتمال تشکیل تجمع در آن‌ها افزایش می‌یابد که این پدیده در نهایت به افت خواص منجر می‌شود.

جدول‌های(۴) و (۵) چگالی سلولی، میانگین اندازه سلول‌ها و چگالی فوم میکروسولولار نهایی را نشان می‌دهد. با توجه به چگالی اولیه پلیمر( $g/cm^3$ )، ۱۳ تا ۲۶ درصد کاهش در چگالی نمونه‌های فوم شده دیده می‌شود. از آنجایی که چگالی سلولی و میانگین اندازه سلول‌ها در این نمونه‌ها متفاوت است، نمی‌توان روند ثابتی برای چگالی فوم مشاهده کرد اما کمترین مقدار چگالی فوم در نمونه ۵ (نمونه بدون نانو) بهدست آمد است که بیشترین میانگین اندازه سلولی و کمترین چگالی سلولی را دارا است. نکته قابل تأمل این است که هدف ما از تهیه فوم میکروسولولی کاهش مصرف مواد اولیه است که به

محدوده دمایی ۱۵۴ تا ۱۶۶ درجه سانتی‌گراد امکان‌پذیر است و در خارج از این محدوده دمایی فوم میکروسولولی به دست نمی‌آید. فاصله بین حباب‌های گاز دی‌اکسیدکربن در ریزنگار میکروسکوپ الکترونی نیز می‌تواند تأییدی بر این مطلب باشد که یکی از فازها(پلی‌کربنات) فوم شده است. مشابه این مورفولوژی برای فوم میکروسولولار پلی‌پروپیلن/اتیلن پروپیلن دی‌ان‌منومر نیز پیش از این گزارش شده است[۲۴ و ۲۸].

اثرات ترکیب درصد نانولوله کربن بر روی میانگین اندازه سلولی و چگالی سلولی به ترتیب در جدول (۴) نشان داده شده است. میانگین اندازه سلول‌ها با اضافه شدن پرکننده نانو به زمینه پلیمری کاهش می‌یابد و در نمونه‌های دیگر با افزایش ترکیب درصد تا ۳ درصد وزنی مشاهده شد که چگالی سلولی افزایش می‌یابد. از آنجا که رسیدن به مقادیر کوچک‌تر برای اندازه سلول‌ها مورد توجه است، می‌توان با افودن نانو ذرات به زمینه پلیمری به سلول‌هایی با اندازه قطر کم ترددست یافت؛ زیرا در اثر افزودن نانولوله کربن و گرانروی نانوکامپوزیت به دلیل کاهش حجم آزاد و افزایش مقاومت زنجیره‌های پلیمری افزایش می‌یابد. در نتیجه مقاومت زمینه پلیمری در برابر رشد حباب افزایش می‌یابد و سلول‌های کوچک‌تری حاصل می‌شود.

هم‌چنین، مانند مراجع [۱۲ و ۱۸] می‌توان رفتار سلول‌ها با افزایش نانوذرات را چنین بیان کرد که با افزایش نانولوله و ایجاد مکان‌هایی برای هسته‌گذاری سلولی گاز دی‌اکسیدکربن در بین سطح مشترک پلیمر و نانوذره نفوذ می‌کند و هرچه نانو لوله‌ها در درون زمینه بهتر پخش شوند، مکان‌های هسته‌گذاری بیشتری ایجاد می‌شود. حضور تعداد بیشتر نانو لوله‌های کربنی در یک مقدار ثابت از زمینه پلیمری باعث می‌شود که به هر کدام از این مراکز بالقوه رشد سلول مقدار کم‌تری از عامل فوم‌زای دی‌اکسیدکربن برسد و در نتیجه ساختار سلولی با تعداد سلول‌های بیشتر و اندازه سلول‌های کوچک‌تری داشته باشیم. به طور خلاصه می‌توان گفت که تغییر فرایند هسته‌گذاری سلولی از همگن به ناهمگن که حاصل حضور نانو ذرات است، پارامتر

فازی با مورفولوژی قطره - زمینه است که ذرات EPDM در زمینه PC پخش شده‌اند.

• چگالی سلولی و میانگین اندازه سلول‌ها به عنوان دو ویژگی مهم فوم‌های میکروسولولار مورد بررسی قرار گرفتند و نتایج نشان داد که افزایش غلظت نانولوله‌ها باعث افزایش چگالی سلولی شده و میانگین اندازه سلول‌ها را کاهش می‌دهد.

• پخش بهتر نانوذرات باعث بهترشدن کارایی هسته‌گذاری آن‌ها در فرایند تولید فوم شد.

• با توجه به تحلیل نمودارهای به دست آمده از مورفولوژی سلولی، مناسب‌ترین مورفولوژی فوم در ۳ درصد وزنی نانولوله‌کربن به دست آمد.

معنای کاهش چگالی فوم می‌باشد. ولی باید به خاطر داشت که همواره باید افت خواص فیزیکی مکانیکی را به حداقل رسانید، زیرا وجود سلول‌ها (حفره‌ها) باعث ایجاد نقاط تمرکز تنش می‌شوند و این پدیده افت خواص را به همراه دارد. پس باید همواره به دنبال کمترین چگالی فوم بود که همراه با آن کمترین اندازه سلول‌ها و بالاترین چگالی سلولی را بدست می‌آید.

#### ۴- نتیجه‌گیری

با توجه به بررسی‌های انجام شده و نتایج حاصل از آزمون‌های انجام شده در این پژوهش می‌توان به نتایج زیر رسید:

• آمیزه PC/EPDM مطالعه‌شده در این پژوهش یک آمیزه دو

#### واژه‌نامه

1. scaffold	8. American Society of Testing Materials (ASTM)	12. Wonderlite
2. follow up	9. International Institute of Synthetic Rubber Producers (IISRP)	13. CHIMEI
3. Plantar	10. International Organization for Standardization (ISO)	14. Tescan
4. electromagnetic interference shielding	11. KUMHO	15. Image - J
5. ventricular fibrillation		16. PRECISA
6. diffusivity		17. droplet-matrix
7. BRABENDER		18. aspect ratio

#### مراجع

1. Suh, N.P., "Microcellular plastics. Encyclopedia of Polymer Science and Technology", 1996.
2. Mikos, A.G. and J.S. Temenoff, "Formation of Highly Porous Biodegradable Scaffolds for Tissue Engineering", *Electronic Journal of Biotechnology*, Vol. 3(2), pp. 23-24, 2000.
3. Martini-Vvedensky, J.E., N.P. Suh, and F.A. Waldman, "Microcellular Closed Cell Foams and Their Method of Manufacture", Google Patents, 1984.
4. Viswanathan, V., Madhavan, S., Gnanasundaram, S., Gopalakrishna, G., Das, B. N., Rajasekar, S., and Ramachandran, A. "Effectiveness of Different Types of Footwear Insoles for the Diabetic Neuropathic Foot. A Follow-up Study", *Diabetes Care*, Vol. 27(2), pp. 474-477, 2004.
5. Zhang, H. B., Yan, Q., Zheng, W. G., He, Z., and Yu, Z.Z., "Tough Graphene- Polymer Microcellular Foams for Electromagnetic Interference Shielding", *ACS Applied Materials and Interfaces*, Vol. 3(3), pp. 918-924, 2011.
6. Wing, G., Pasricha, A., Tuttle, M., and Kumar, V., "Time Dependent Response of Polycarbonate and Microcellular Polycarbonate", *Polymer Engineering and Science*, Vol. 35(8), pp. 673-679, 1995.
7. Barlow, C., Kumar, V., Flinn, B., Bordia, R. K., and Weller, J., "Impact Strength of High Density Solid-State Microcellular Polycarbonate Foams", *Journal of Engineering Materials and Technology*, Vol. 123(2), pp. 229-233, 2001.
8. Lee, J. W., Wang, K., and Park, C. B., "Challenge to Extrusion of Low-Density Microcellular Polycarbonate Foams using Supercritical Carbon Dioxide", *Industrial and Engineering Chemistry Research*, Vol. 44(1), pp. 92-99, 2005.
9. Bureau, M.N., "Fracture Toughness of High Density Polycarbonate Microcellular Foams", *Journal of Cellular Plastics*, Vol. 42(3), pp. 229-240, 2006.
10. Weller, J.E. and V. Kumar, "Solid-State Microcellular Polycarbonate Foams: I. The Steady-State Process Space using Subcritical Carbon Dioxide", *Polymer Engineering and Science*, Vol.

- 50(11), pp. 2160-2169, 2010.
11. Kumar, V., and Weller, J., "Production of Microcellular Polycarbonate using Carbon Dioxide for Bubble Nucleation", *Journal of Manufacturing Science and Engineering*, Vol. 116(4), pp. 413-420, 1994.
  12. Tomasko, D. L., Han, X., Liu, D., and Gao, W., "Supercritical Fluid Applications in Polymer Nanocomposites", *Current Opinion in Solid State and Materials Science*, Vol. 7(4), pp. 407-412, 2003.
  13. Liang, M.-T. and C.-M. Wang, "Production of Engineering Plastics Foams by Supercritical CO<sub>2</sub>", *Industrial and Engineering Chemistry Research*, Vol. 39(12), pp. 4622-4626, 2000.
  14. Nalawade, S. P., Picchioni, F., and Janssen, L.P.B.M., "Supercritical Carbon Dioxide as a Green Solvent for Processing Polymer Melts: Processing Aspects and Applications", *Progress in Polymer Science*, Vol. 31(1), pp. 19-43, 2006.
  15. Wee, D., D. Seong, and J. Youn, "Processing of Microcellular Nanocomposite Foams by Using a Supercritical Fluid", *Fibers and Polymers*, Vol. 5(2), pp. 160-169, 2004.
  16. Tsivintzelis, I., E. Pavlidou, and C. Panayiotou, "Biodegradable Polymer Foams Prepared with Supercritical CO<sub>2</sub>-Ethanol Mixtures as Blowing Agents", *The Journal of Supercritical Fluids*, Vol. 42(2), pp. 265-272, 2007.
  17. Kwon, Y. K., and Bae, H. K., "Production of Microcellular Foam Plastics by Supercritical Carbon Dioxide", *Korean Journal of Chemical Engineering*, Vol. 24(1), pp. 127-132, 2007.
  18. Lee, L.J., Zeng, C., Cao, X., Han, X., Shen, J., and Xu, G., "Polymer Nanocomposite Foams", *Composites Science and Technology*, Vol. 65(15), pp. 2344-2363, 2005.
  19. Xiao, Z., Li, Y., Liu, J., Lu, D., Yang, S., and Guan, R., "Microcellular Structure of a Thin Polycarbonate Sheet Prepared by Compression Molding", *Polymer Science Series A*, Vol. 51(9), pp. 1008-1012, 2009.
  20. Da Silva, A. L. N., and Coutinho, F., "Some Properties of Polymer Blends Based on EPDM/PP", *Polymer Testing*, Vol. 15(1), pp. 45-52, 1996.
  21. Hofmann, W., "Rubber Technology Handbook", Hanser Publishers, 1989.
  22. Spitael, P., Macosko, C.W., and Mc Clurg, R.B., "Block Copolymer Micelles for Nucleation of Microcellular Thermoplastic Foams", *Macromolecules*, Vol. 37(18), pp. 6874-6882, 2004.
  23. Su, C., Xu, L., Zhang, C., and Zhu, J., "Selective Location and Conductive Network Formation of Multiwalled Carbon Nanotubes in Polycarbonate/Poly (Vinylidene Fluoride) Blends", *Composites Science and Technology*, Vol. 71(7), pp. 1016-1021, 2011.
  24. Wong, S., H.E. Naguib, and C.B. Park, "Effect of Processing Parameters on the Cellular Morphology and Mechanical Properties of Thermoplastic Polyolefin (TPO) Microcellular Foams", *Advances in Polymer Technology*, Vol. 26(4), pp. 232-246, 2007.
  25. Baldwin, D.F., C.B. Park, and N.P. Suh, "A Microcellular Processing Study of Poly (Ethylene Terephthalate) in the Amorphous and Semicrystalline States. Part I: Microcell Nucleation", *Polymer Engineering and Science*, Vol. 36(11), pp. 1437-1445, 2004.
  26. El-Lawindy, A. M. Y., "Studies of Electrical and Physico-Mechanical Properties of EPDM Structure Foams", *Egyptian Journal of Solids*, Vol. 28(1), pp. 97-107, 2005.
  27. Xu, Z.M., Jiang, X.L., Liu, T., Hu, G.H., Zhao, L., Zhu, Z.N., and Yuan, W.K., "Foaming of Polypropylene with Supercritical Carbon Dioxide", *The Journal of Supercritical Fluids*, Vol. 41(2), pp. 299-310, 2007.
  28. Nemoto, T., Takagi, J., and Ohshima, M., "Control of Bubble Size and Location in Nano-/Microscale Cellular Poly (Propylene)/Rubber Blend Foams", *Macromolecular Materials and Engineering*, Vol. 293(7), pp. 574-580, 2008.

